

” Теория автоматического управления ”

Лабораторная работа №4

Слежение и компенсация: виртуальный

ВЫХОД

Выполнил: Бухарев Святослав Андреевич

Факультет: СУиР

Группа: R3381

Вариант 9

Преподаватели: Перегудин А. А., Пашенко А. В.

Санкт-Петербург

## Задание 1. Компенсирующий регулятор по состоянию

В соответствии с вариантом (9) по **Таблице 1** возьму матрицы  $A, B, B_f$  и  $C_z$  из **Таблицы 2** и матрицу  $\Gamma$  из **Таблицы 3**:

$$A = \begin{bmatrix} 7 & 0 & 10 \\ 4 & -1 & 4 \\ -4 & -2 & -7 \end{bmatrix} \quad B = \begin{bmatrix} 1 \\ -1 \\ 1 \end{bmatrix} \quad B_f = \begin{bmatrix} -2 & 0 & 0 & -3 \\ 0 & 0 & 0 & 0 \\ 2 & 0 & 0 & 0 \end{bmatrix}$$

$$C_z^T = \begin{bmatrix} 2 \\ 1 \\ -1 \end{bmatrix},$$

$$\Gamma = \begin{bmatrix} -35 & 11 & 6 & 11 \\ -56 & 17 & 10 & 18 \\ -22 & 7 & 5 & 6 \\ -42 & 12 & 10 & 13 \end{bmatrix}$$

Рассмотрим систему:

$$\dot{x} = Ax + Bu + B_f w_f, \quad x(0) = [0 \ 0 \ 0]^T,$$

генератор внешнего возмущения

$$\dot{w}_f = \Gamma w_f, \quad w_f(0) = [1 \ 1 \ 1 \ 1]^T$$

и виртуальный выход вида

$$z = C_z x$$

**Выполним следующие шаги:**

- Найти собственные числа матрицы  $\Gamma$  и определить характер внешнего возмущения:

$$\Gamma = \begin{bmatrix} -35 & 11 & 6 & 11 \\ -56 & 17 & 10 & 18 \\ -22 & 7 & 5 & 6 \\ -42 & 12 & 10 & 13 \end{bmatrix}$$

$$\lambda_{1,2} = \pm 3i$$

$$\lambda_{3,4} = \pm i$$

Определим характер внешнего возмущения по модам системы:

$$w_f = (\cos 3t + \sin 3t) + (\cos t + \sin t) = \cos 3t + \sin 3t + \cos t + \sin t$$

Получаем гармонический характер возмущения системы, где частоты равны:

$$\omega = 3$$

$$\omega = 1$$

- Построить схему моделирования системы, замкнутой компенсирующим регулятором:

$$u = K_1 x + K_2 w_f,$$

обеспечивающим выполнение целевого условия:

$$\lim_{t \rightarrow \infty} z(t) = 0 \quad (1)$$

при внешнем воздействии, задаваемом генератором:

$$\dot{w}_f = \Gamma w_f, \quad w_f(0) = [1 \ 1 \ 1 \ 1]^T$$

Построим схему (расширенную версию смотреть в приложении):

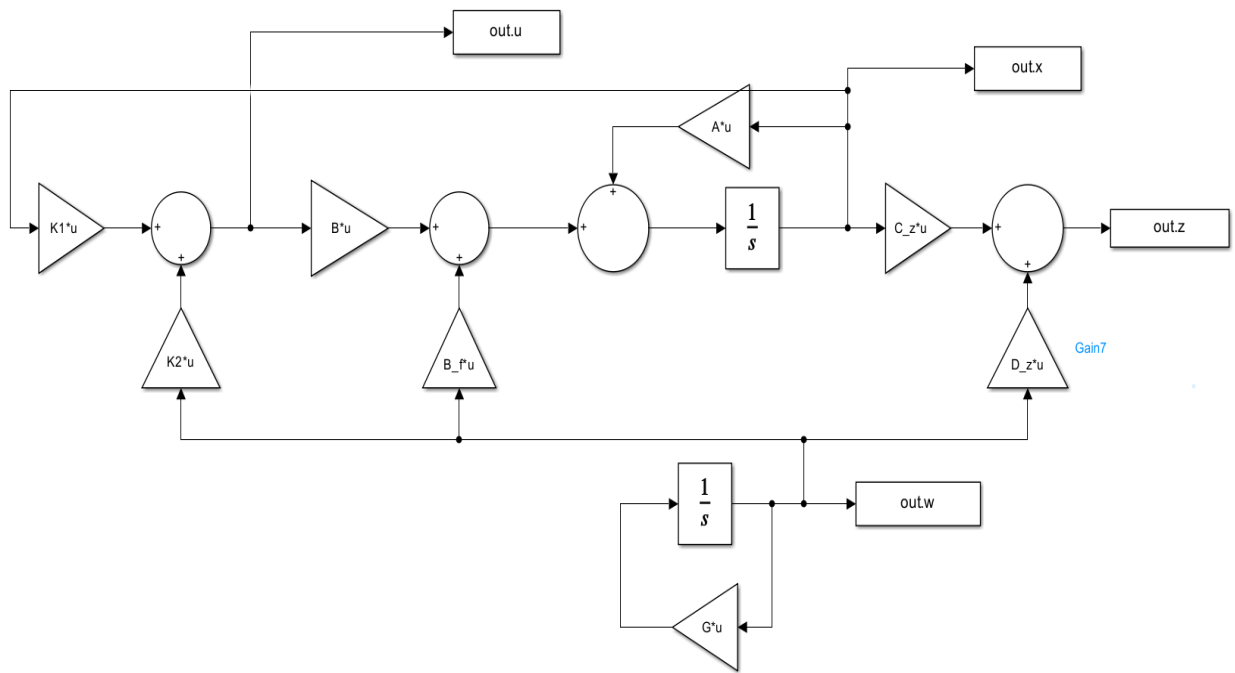


Рисунок 1. Схема моделирования системы.

- Синтезировать «feedback»-компоненту  $K_1$  компенсирующего регулятора любым пройденным на курсе способом. Привести выкладки процедуры синтеза и полученную матрицу  $K_1$ .

Синтезируем «feedback»-компоненту  $K_1$  с помощью матричных уравнений Сильвестра:

$$\begin{cases} AP - PG = BY \\ K_1 = -YP^{-1} \end{cases}$$

Матрицы  $\Gamma$  и  $Y$  в данном случае возьмём равные:

$$\Gamma = \begin{bmatrix} -3 & 1 & 0 \\ 0 & -3 & 1 \\ 0 & 0 & -3 \end{bmatrix}, \quad Y = [1 \ 1 \ 1 \ 1],$$

где желаемый спектр  $\sigma(A + BK_1)$  будет равен  $\{-3, -3, -3\}$

Получаем значение  $K_1$ :

$$K_1 = [-3.5385 \quad 0.9737 \quad -3.4878]$$

- Синтезировать «feedforward»-компоненту  $K_2$  компенсирующего регулятора. Привести выкладки процедуры синтеза и полученную матрицу  $K_2$ .

Синтезируем «feedforward»-компоненту  $K_2$  компенсирующего регулятора:

- 1) Выбираем  $K_1$  так, чтобы  $\sigma(A + BK_1) \in C_-$
- 2) Находим  $P$  и  $Y$  как решение системы уравнений:

$$\begin{cases} P\Gamma - AP = BY + B_f \\ C_z P + D_z = 0 \end{cases}$$

- 3) Вычислим  $K_2$  по формуле:

$$K_2 = Y - K_1 P$$

В данном случае  $D_z = 0$ , так как  $w$  – внешнее возмущение и мы решаем задачу компенсации.

Получаем значение  $K_2$ :

$$K_2 = [-8.8154 \quad 2.7788 \quad 1.8259 \quad 4.7882]$$

- Выполним компьютерное моделирование
- 

**Разомкнутая системы ( $u = 0$ ):**

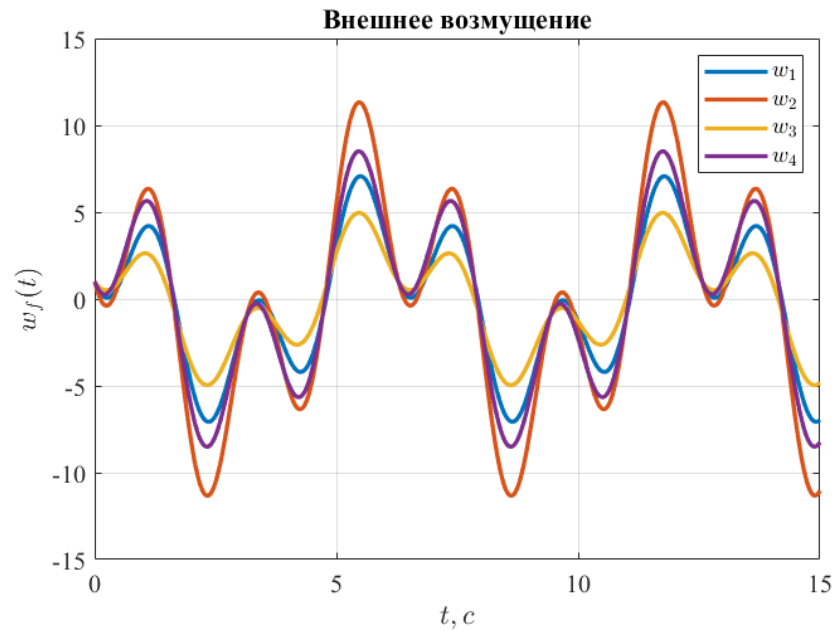


Рисунок 2. Вектор состояния генератора внешнего возмущения  $w_f(t)$

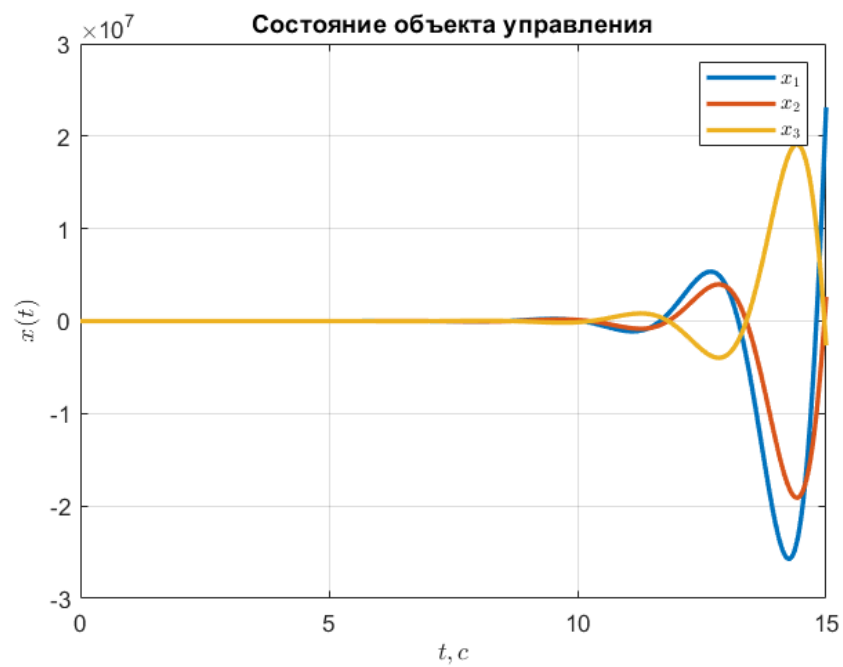


Рисунок 3. Вектор состояния объекта  $x(t)$

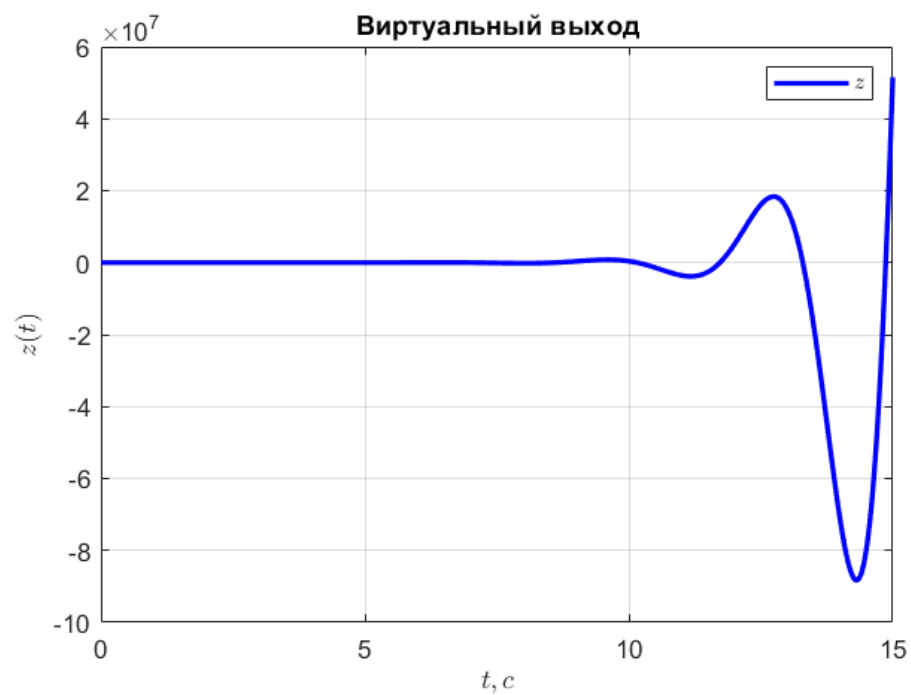


Рисунок 4. Виртуальный выход  $z(t)$

Как мы видим, обнуляя регулирующее воздействие  $u = 0$ , мы получаем неустойчивые графики, так как система изначально была неустойчива.

**Система, замкнутая регулятором с «feedback»-компонентой:**

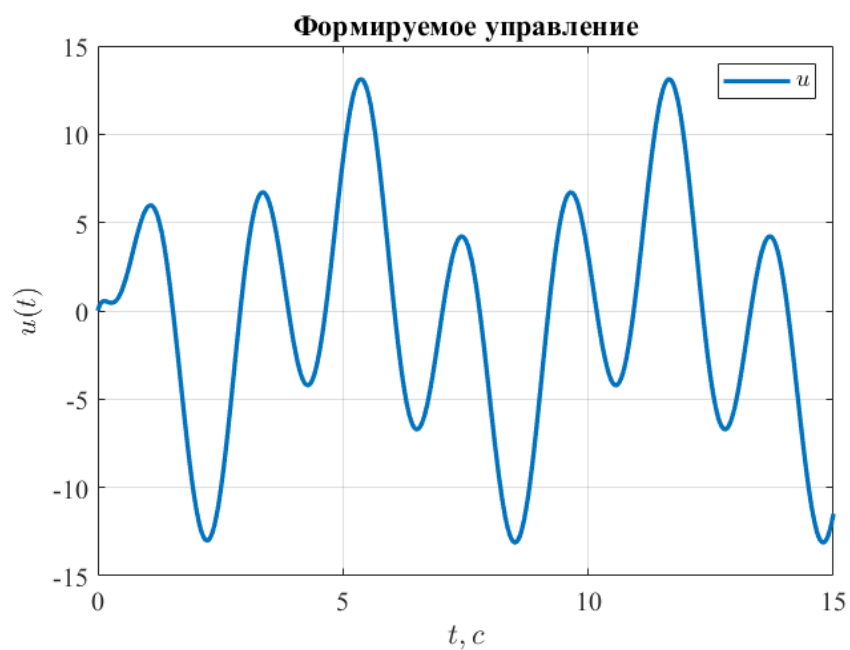


Рисунок 5. Управление регулятора  $u(t)$

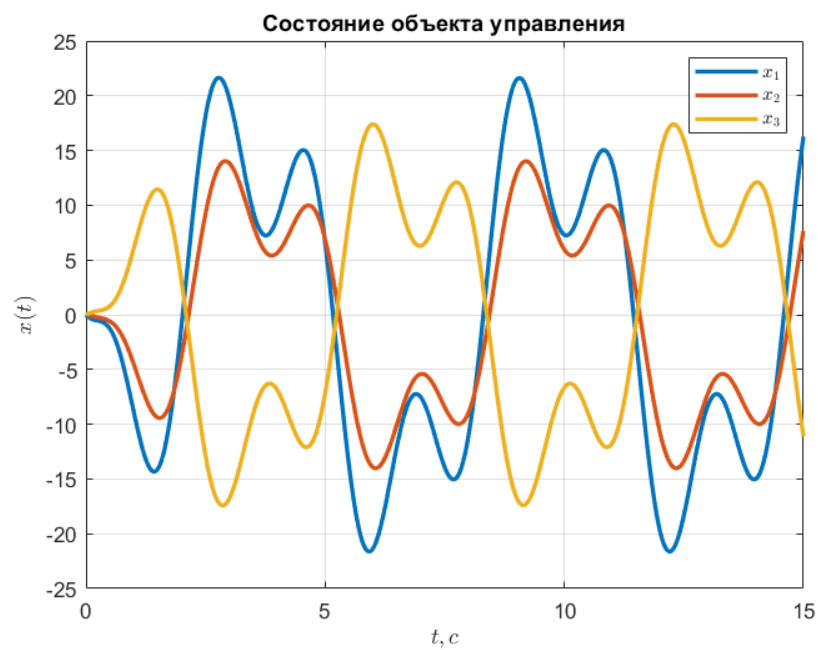


Рисунок 6. Вектор состояния объекта  $x(t)$



Рисунок 7. Виртуальный выход  $z(t)$

Как мы видим, управления  $u = K_1 x$  всё ещё не достаточно, чтобы скомпенсировать внешние возмущения, система стала устойчивой, но не асимптотически, поэтому выход  $z(t)$  не уходит в ноль.



**Система, замкнутая компенсирующим регулятором  $u = K_1x + K_2w_f$ :**

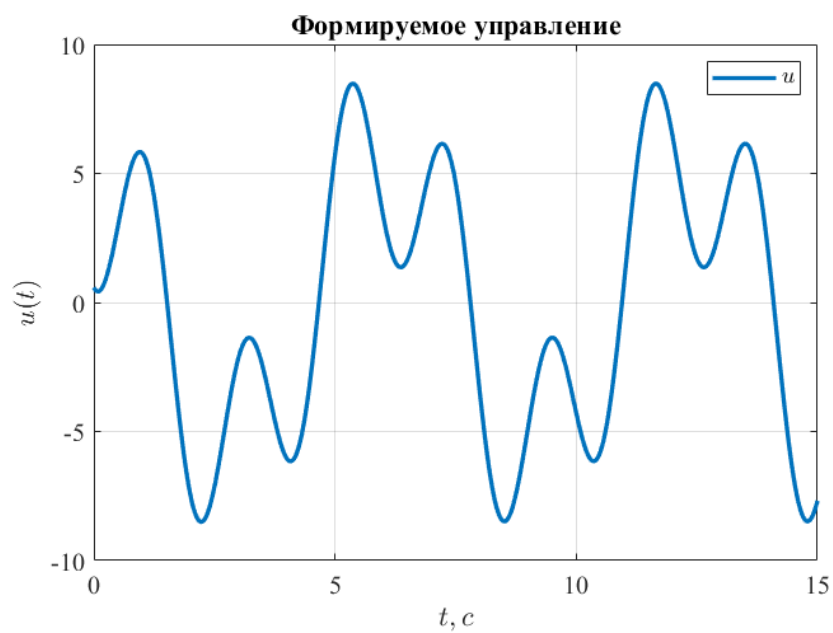


Рисунок 8. Управление регулятора  $u(t)$



Рисунок 9. Вектор состояния объекта  $x(t)$

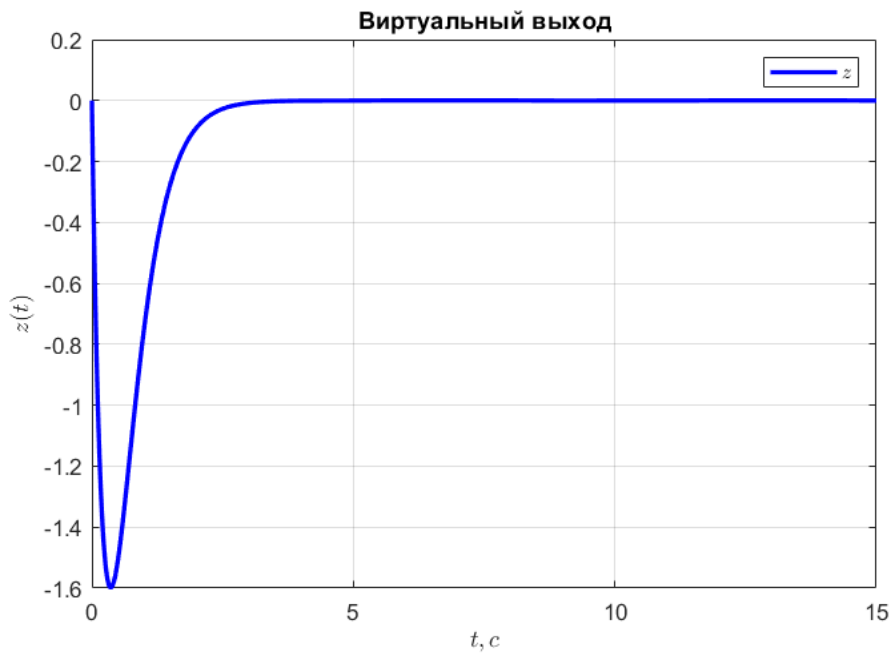


Рисунок 10. Виртуальный выход  $z(t)$

Теперь, с помощью регулятора  $u = K_1 x + K_2 w_f$  наша цель управления достигнута  $\lim_{t \rightarrow \infty} z(t) = 0$ .

**Вывод:**

Проделав компьютерное моделирование при разных  $u(t)$ , мы убедились в том, что только при помощи feedback-компоненты (обратной связи) и feedforward-компоненты (прямой связи) вместе взятыми, можно добиться полной компенсации внешнего возмущения системы.

## Задание 2. Следящий регулятор по состоянию

В соответствии с вариантом (9) по **Таблице 1** возьму матрицы  $A, B$  и  $C_z$  из **Таблицы 2** и матрицы  $\Gamma$  и  $D_z$  из **Таблицы 3**:

$$A = \begin{bmatrix} 7 & 0 & 10 \\ 4 & -1 & 4 \\ -4 & -2 & -7 \end{bmatrix} \quad B = \begin{bmatrix} 1 \\ -1 \\ 1 \end{bmatrix},$$

$$C_z^T = \begin{bmatrix} 2 \\ 1 \\ -1 \end{bmatrix},$$

$$\Gamma = \begin{bmatrix} -35 & 11 & 6 & 11 \\ -56 & 17 & 10 & 18 \\ -22 & 7 & 5 & 6 \\ -42 & 12 & 10 & 13 \end{bmatrix} \quad D_z^T = \begin{bmatrix} -8 \\ 8 \\ -12 \\ 3 \end{bmatrix}$$

Рассмотрим систему:

$$\dot{x} = Ax + Bu, \quad x(0) = [1 \ 1 \ 1]^T,$$

генератор задающего сигнала

$$\dot{w}_g = \Gamma w_g, \quad w_g(0) = [1 \ 1 \ 1 \ 1]^T$$

и виртуальный выход вида

$$z = C_z x + D_z w_g$$

Выполним следующие шаги:

- Найти собственные числа матрицы  $\Gamma$  и определить характер задающего сигнала.

Воспользуемся данными предыдущего задания:

$$\Gamma = \begin{bmatrix} -35 & 11 & 6 & 11 \\ -56 & 17 & 10 & 18 \\ -22 & 7 & 5 & 6 \\ -42 & 12 & 10 & 13 \end{bmatrix}$$

$$\lambda_{1,2} = \pm 3i$$

$$\lambda_{3,4} = \pm i$$

Определим характер сигнала по модам системы:

$$w_f = (\cos 3t + \sin 3t) + (\cos t + \sin t) = \cos 3t + \sin 3t + \cos t + \sin t$$

Получаем гармонический характер задающего сигнала системы с частотой:

$$w = 3$$

$$w = 1$$

- Построить схему моделирования системы, замкнутой следящим регулятором  $u = K_1 x + K_2 w_g$ , обеспечивающим выполнение целевого условия (1) при внешнем воздействии, задаваемом генератором.

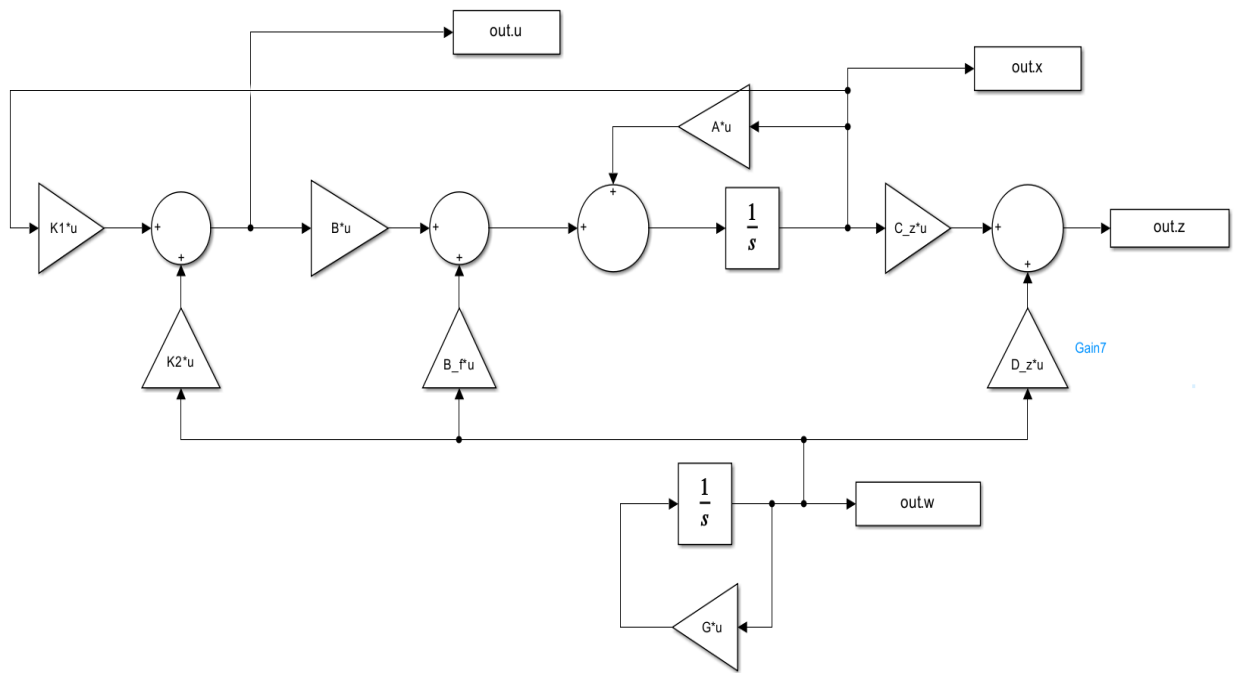


Рисунок 11. Схема моделирования системы.

- Синтезировать «feedback»-компоненту  $K_1$  следящего регулятора  $u = K_1 x + K_2 w_g$  любым пройденным на курсе способом. Привести выкладки процедуры синтеза и полученную матрицу  $K_1$ .

Синтезируем «feedback»-компоненту  $K_1$  при помощи матричных уравнений Сильвестра:

$$\begin{cases} AP - PG = BY \\ K_1 = -YP^{-1} \end{cases}$$

Матрицы  $\Gamma$  и  $Y$  :

$$\Gamma = \begin{bmatrix} -3 & 1 & 0 \\ 0 & -3 & 1 \\ 0 & 0 & -3 \end{bmatrix}, \quad Y = [1 \ 1 \ 1 \ 1],$$

Получаем матрицу  $K_1$  равную:

$$K_1 = [-3.5385 \quad 0.9737 \quad -3.4878]$$

- Синтезировать «feedforward»-компоненту  $K_2$  следящего регулятора  $u = K_1 x + K_2 w_g$ . Привести выкладки процедуры синтеза и полученную матрицу  $K_2$ .

Синтезируем «feedforward»-компоненту  $K_2$  следящего регулятора:

- 1) Выбираем  $K_1$  так, чтобы  $\sigma(A + BK_1) \in C_-$
- 2) Находим  $P$  и  $Y$  как решение системы уравнений:

$$\begin{cases} P\Gamma - AP = BY + B_f \\ C_z P + D_z = 0 \end{cases}$$

- 3) Вычислим  $K_2$  по формуле:

$$K_2 = Y - K_1 P$$

Здесь уже  $B_f = 0$ , так как  $w$  — задающее воздействие и мы решаем задачу слежения.

Получаем значение  $K_2$ :

$$K_2 = [4.0769 \quad -0.6154 \quad 0.6923 \quad -2.8077]$$

- Выполнить компьютерное моделирование

**Разомкнутая системы ( $u = 0$ ):**

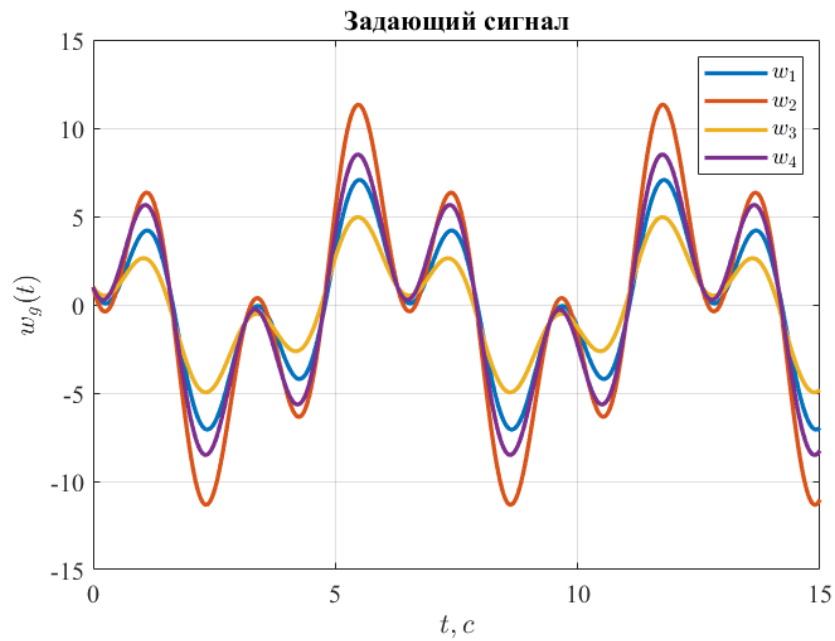


Рисунок 12. Вектор состояния генератора задающего сигнала  $w_g(t)$

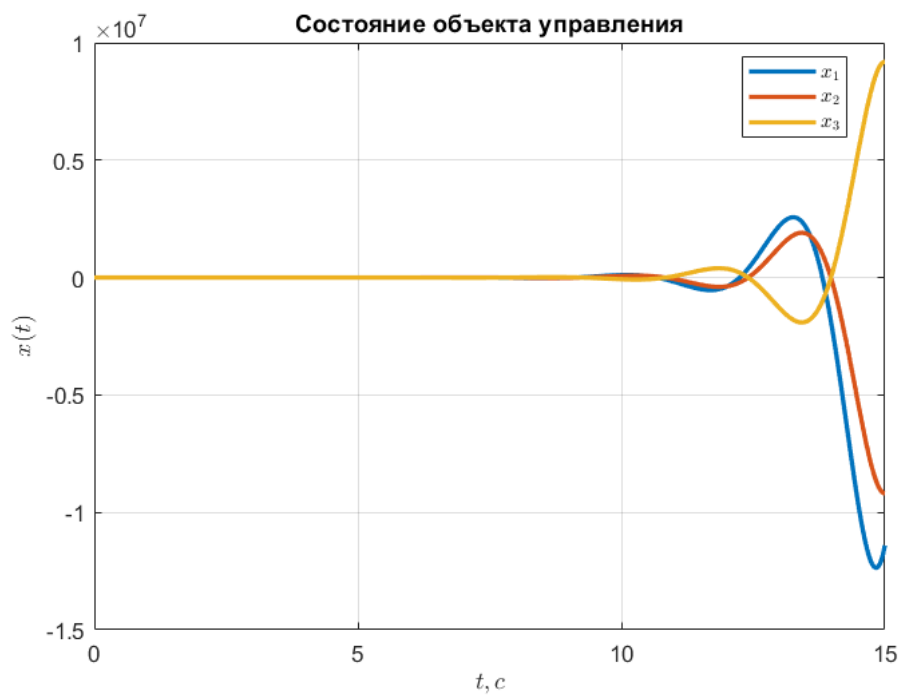


Рисунок 13. Вектор состояния объекта  $x(t)$

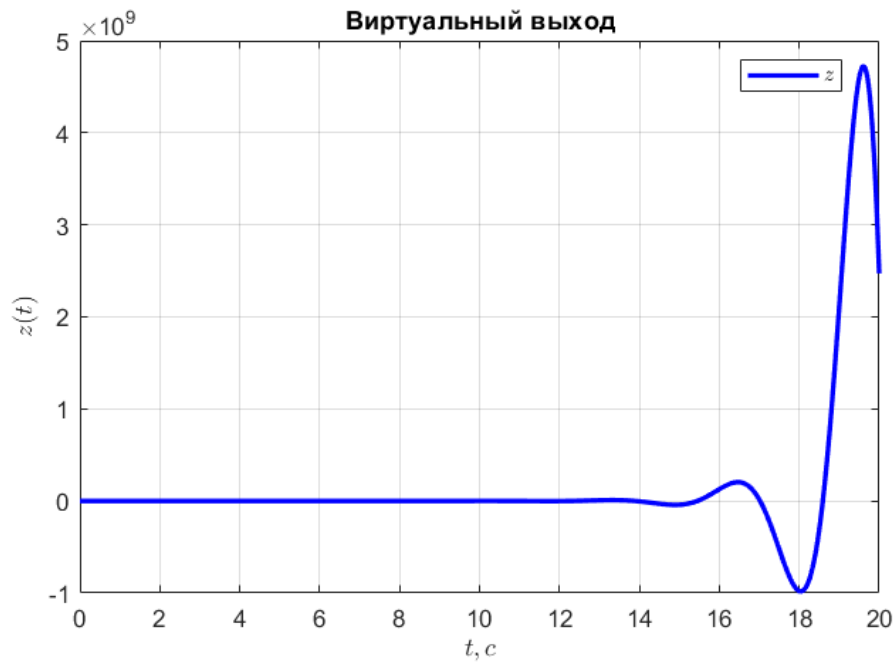


Рисунок 14. Виртуальный выход  $z(t)$

Как мы видим, обнуляя регулирующее воздействие  $u = 0$ , мы получаем неустойчивые графики, потому что система изначально была неустойчива.

**Система, замкнутая регулятором с «feedback»-компонентой  $u = K_1 x$ :**

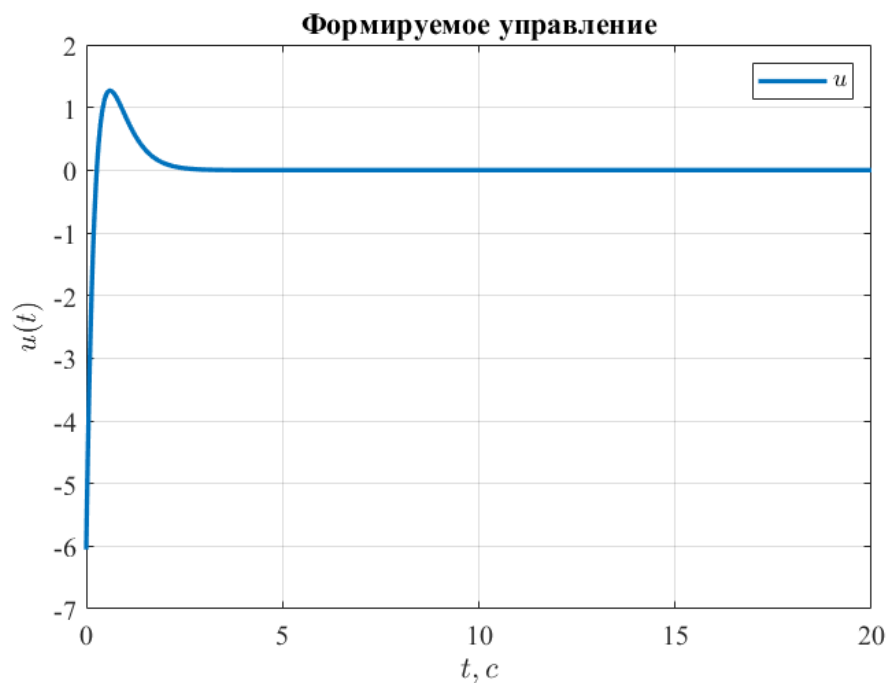


Рисунок 15. Управление регулятора  $u(t)$



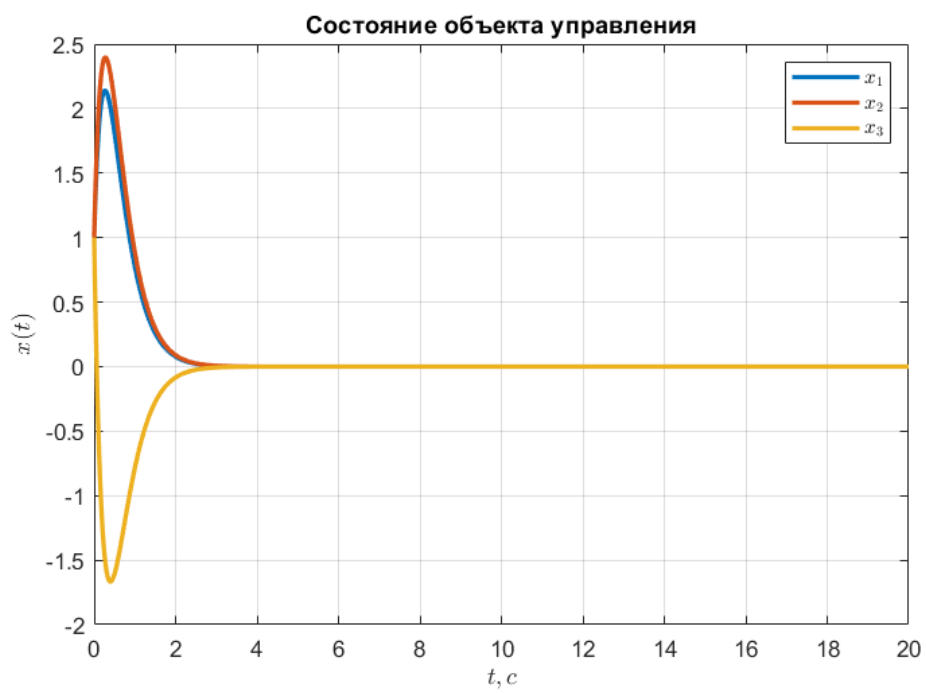


Рисунок 16. Вектор состояния объекта  $x(t)$



Рисунок 17. Виртуальный выход  $z(t)$

В данном случае у нас уже нет заданного на объекте внешнего воздействия, поэтому наш регулятор формирует управление сходящееся к 0, но не выполняет задачу слежения за эталонной моделью  $w_g$ .

**Система, замкнутая компенсирующим регулятором  $u = K_1x + K_2w_g$ :**

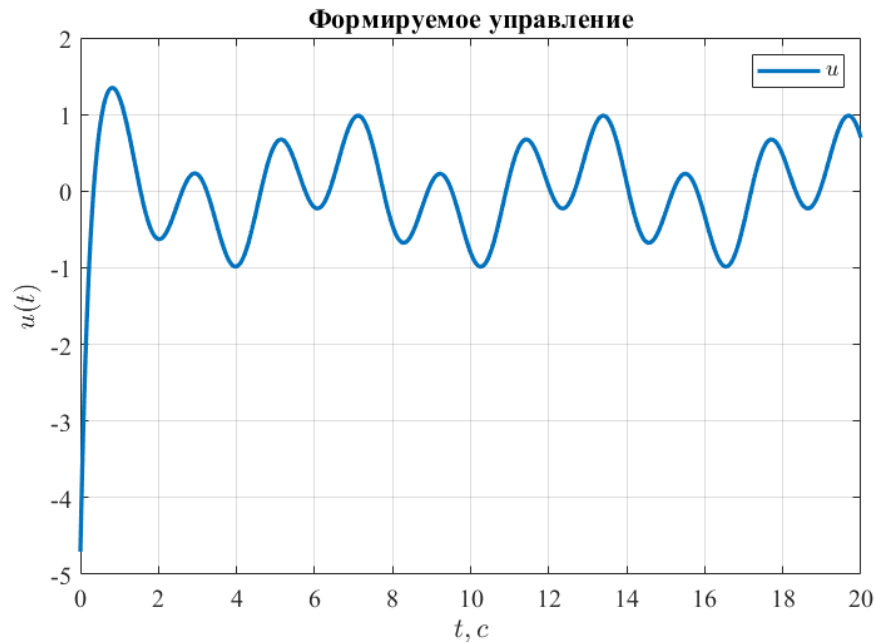


Рисунок 18. Управление регулятора  $u(t)$

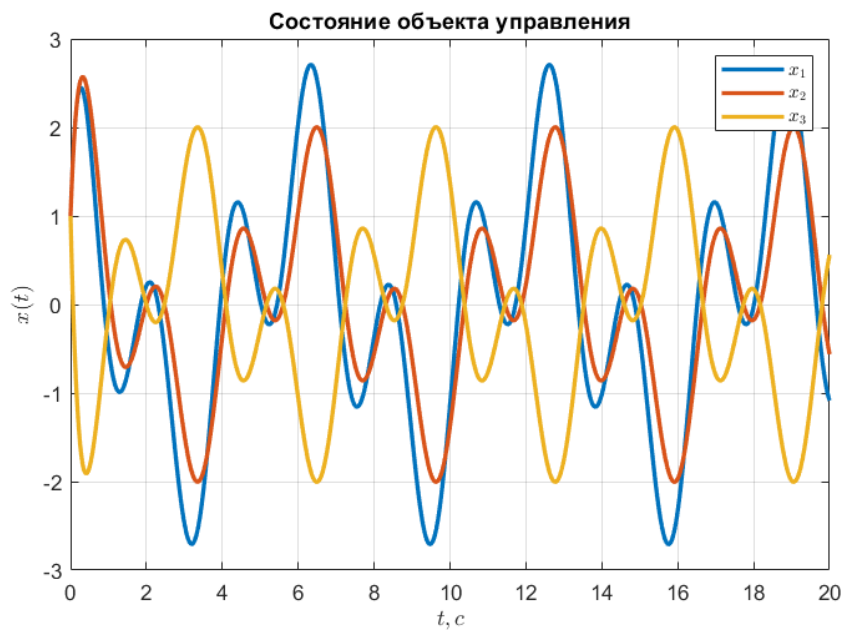


Рисунок 19. Вектор состояния объекта  $x(t)$

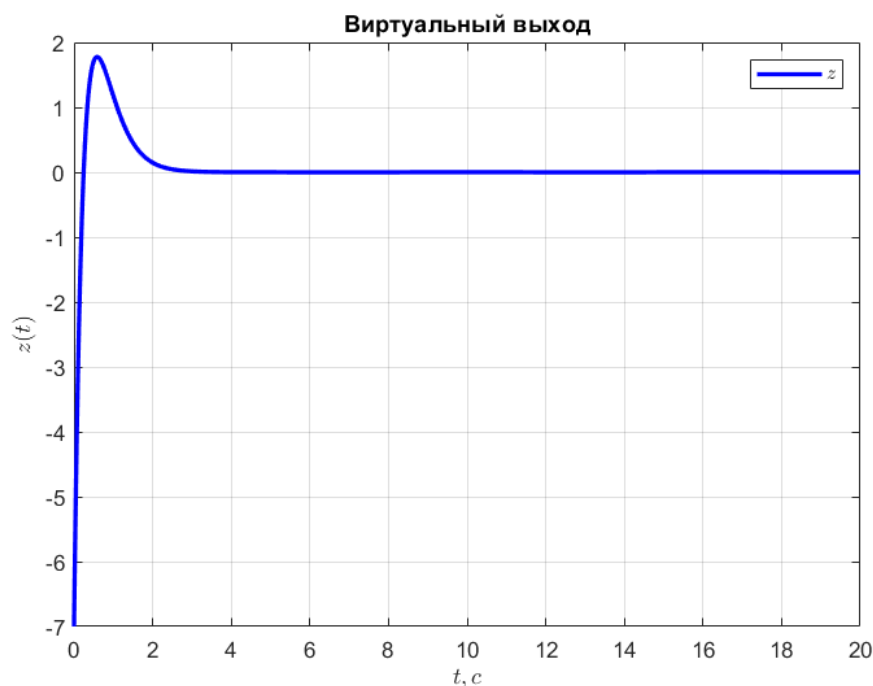


Рисунок 20. Виртуальный выход  $z(t)$

Теперь, с помощью регулятора  $u = K_1 x + K_2 w_f$  мы достигли цели управления и наш сигнал справляется с задачей слежения за внешним сигналом  $w_g$  и  $\lim_{t \rightarrow \infty} z(t) = 0$ .

### **Вывод:**

В нашем случае синтез следящего регулятора был почти аналогичным синтезу компенсирующего регулятора, но в данном случае мы не компенсировали поданное на объект внешнее возмущение, а изменяли наш исходный сигнал до совпадения с эталонным гармоническим воздействием.

### Задание 3. Слежение и компенсация по выходу

В соответствии с вариантом (9) по **Таблице 1** возьму матрицы  $A, B, B_f, C$  и  $C_z$  из **Таблицы 2** и матрицы  $\Gamma, D$  и  $D_z$  из **Таблицы 3**:

$$A = \begin{bmatrix} 7 & 0 & 10 \\ 4 & -1 & 4 \\ -4 & -2 & -7 \end{bmatrix}, \quad B = \begin{bmatrix} 1 \\ -1 \\ 1 \end{bmatrix}, \quad B_f = \begin{bmatrix} -2 & 0 & 0 & -3 \\ 0 & 0 & 0 & 0 \\ 2 & 0 & 0 & 0 \end{bmatrix}$$

$$C^T = \begin{bmatrix} 0 \\ -2 \\ -1 \end{bmatrix} \quad C_z^T = \begin{bmatrix} 2 \\ 1 \\ -1 \end{bmatrix},$$

$$\Gamma = \begin{bmatrix} -35 & 11 & 6 & 11 \\ -56 & 17 & 10 & 18 \\ -22 & 7 & 5 & 6 \\ -42 & 12 & 10 & 13 \end{bmatrix} \quad D^T = \begin{bmatrix} -6 \\ 6 \\ 4 \\ -5 \end{bmatrix} \quad D_z^T = \begin{bmatrix} -8 \\ 8 \\ -12 \\ 3 \end{bmatrix}$$

Рассмотрим систему:

$$\begin{cases} \dot{x} = Ax + Bu + B_f w \\ y = Cx + Dw \end{cases}, \quad x(0) = [0 \ 0 \ 0]^T,$$

генератор внешнего воздействия

$$\dot{w} = \Gamma w, \quad w(0) = [1 \ 1 \ 1 \ 1]^T$$

Выполним следующие шаги:

- Найти собственные числа матрицы  $\Gamma$  и определить характер внешнего возмущения (допускается использовать результаты, полученные в предыдущих Заданиях).

Собственные числа:

$$\lambda_{1,2} = \pm 3i$$

$$\lambda_{3,4} = \pm i$$

Определим характер внешнего возмущения по модам системы:

$$w_f = (\cos 3t + \sin 3t) + (\cos t + \sin t) = \cos 3t + \sin 3t + \cos t + \sin t$$

Получаем гармонический характер возмущения системы с частотами  $w = 3$ ,  $w = 1$ .

- Проверить пару  $[C \ D]$  и  $\begin{bmatrix} A & B_f \\ 0 & \Gamma \end{bmatrix}$  на обнаруживаемость и сделать вывод о возможности осуществления слежения и компенсации по выходу.

Составим матрицу наблюдаемости пары  $(C, A)$ , где  $C = [C \ D]$  и  $A = \begin{bmatrix} A & B_f \\ 0 & \Gamma \end{bmatrix}$

по формуле:

$$V = \begin{bmatrix} C \\ CA \\ CA^2 \\ \vdots \\ CA^{n-1} \end{bmatrix}$$

$$V = \begin{bmatrix} 0 & -2 & -1 & -6 & 6 & 4 & 0 \\ -4 & 4 & -1 & -6 & 4 & -6 & -2 \\ -8 & -2 & -17 & 82 & -28 & -16 & -1 \\ 4 & 36 & 31 & 0 & -2 & -1 & 0 \\ 48 & -98 & 319 & -4 & 4 & -1 & -2 \\ 76 & 164 & 319 & -8 & -2 & -17 & -1 \\ -88 & -802 & -817 & 15682 & -508 & -10336 & -5525 \end{bmatrix}$$

$$\text{rank}(V) = n = 7$$

Составив матрицу наблюдаемости, и вычислив её ранг, мы убедились в том, что система полностью наблюдаемая и соответственно обнаруживаемая. А значит, мы можем сделать вывод о том, что возможно осуществить слежение и компенсацию системы по выходу.

- Построить схему моделирования системы, замкнутой регулятором, состоящим из расширенного наблюдателя:

$$\begin{bmatrix} \dot{\hat{x}} \\ \dot{\hat{w}} \end{bmatrix} = \bar{A} \begin{bmatrix} \hat{x} \\ \hat{w} \end{bmatrix} - Ly$$

и закона управления:

$$u = K_1 \hat{x} + K_2 \hat{w}$$

при внешнем воздействии, задаваемом генератором:

$$\dot{w} = \Gamma w, \quad w(0) = [1 \ 1 \ 1 \ 1]^T$$

Построим схему моделирования (расширенную версию можно посмотреть в приложении):

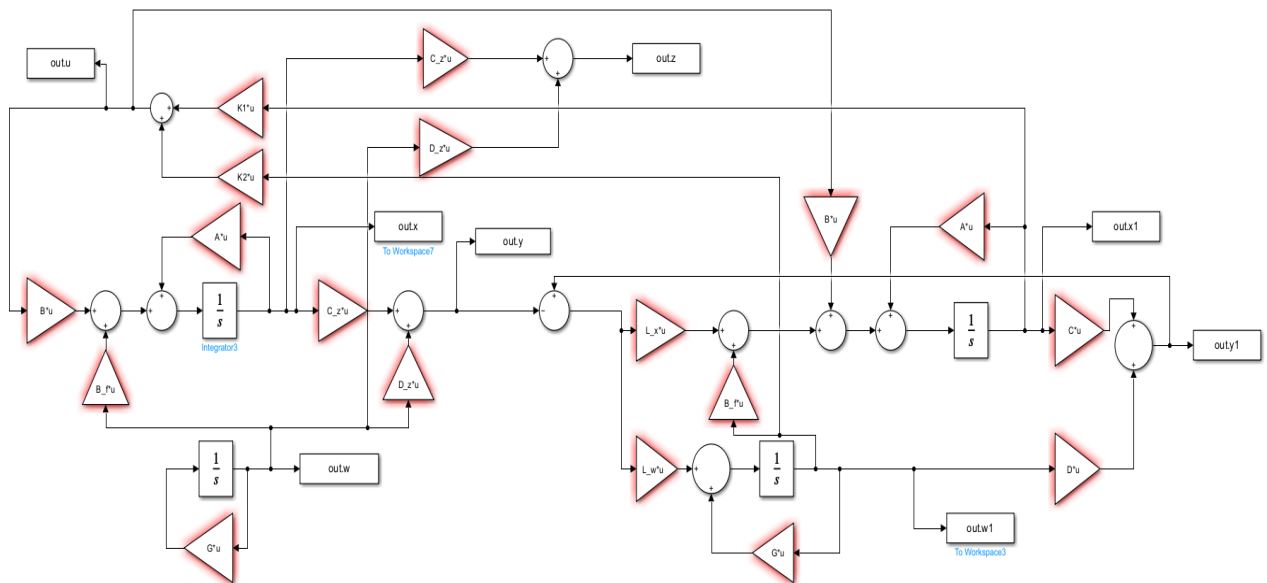


Рисунок 21. Схема моделирования системы

- Синтезировать «feedback»-компоненту  $K_1$  следящего регулятора любым пройденным на курсе способом. Привести выкладки процедуры синтеза и полученную матрицу  $K_1$ .

При помощи матричных уравнений Сильвестра найдём компоненту  $K_1$ :

$$\begin{cases} AP - PG = BY \\ K_1 = -YP^{-1} \end{cases}$$

Желаемый спектр:

$$\{-3, -3, -3\}$$

Получаем матрицу  $K_1$  равную:

$$K_1 = [-3.5385 \quad 0.9737 \quad -3.4878]$$

- Синтезировать матрицу коррекции  $L$  наблюдателя. Привести выкладки процедуры синтеза и полученную матрицу  $L$ .

Синтезируем матрицу  $L$  с помощью LQR-регулятора:

$$J = \int_0^{\infty} (x^T Q x + u^T R u) dt$$

$$R = 1, \quad Q = \text{eye}(7)$$

Получаем:

$$L = \begin{bmatrix} L_x \\ L_w \end{bmatrix} = \begin{bmatrix} 85.2509 \\ 23.5032 \\ -31.6071 \\ -21.8252 \\ -35.2910 \\ -15.6231 \\ -27.5573 \end{bmatrix}$$

- Рассмотреть два случая виртуального выхода:
  - $z = C_z x + D_z w$
  - $z = y$

**Первый случай  $z = C_z x + D_z w$**

Синтезируем «feedforward»-компоненту  $K_2$  следящего регулятора:

$$\begin{cases} P\Gamma - AP = BY + B_f \\ C_z P + D_z = 0 \\ K_2 = Y - K_1 P \end{cases}$$



Получаем:

$$K_2 = [-4.7385 \quad 2.1634 \quad 2.5182 \quad 1.9805]$$

Далее, представим уравнения регулятора в форме Вход-Состояние-Выход, где вход это  $y(t)$ , а выход  $u(t)$ :

$$\begin{cases} \dot{\hat{x}} = A\hat{x} + Bu + B_f\hat{w} + L_x(\hat{y} - y) \\ \dot{\hat{w}} = \Gamma\hat{w} + L_w(\hat{y} - y) \\ \hat{y} = C\hat{x} + D\hat{w} \\ u = K_1\hat{x} + K_2\hat{w} \end{cases}$$

$$\begin{cases} \begin{bmatrix} \dot{\hat{x}} \\ \dot{\hat{w}} \end{bmatrix} = \begin{bmatrix} A + BK_1 + L_xC & BK_2 + B_f + L_xD \\ L_wC & \Gamma + L_wD \end{bmatrix} \begin{bmatrix} \hat{x} \\ \hat{w} \end{bmatrix} - \begin{bmatrix} L_x \\ L_w \end{bmatrix} y \\ u = [K_1 \quad K_2] \begin{bmatrix} \hat{x} \\ \hat{w} \end{bmatrix} \end{cases}$$

Теперь найдём собственные числа матрицы системы и сравним с собственными числами матрицы генератора  $\Gamma$ .

Собственные числа матрицы  $\Gamma$ :

$$\lambda_{1,2} = \pm 3i, \lambda_{3,4} = \pm i$$

Собственные числа матрицы системы:

$$\lambda_{1,2} = -13.7 \pm 18.9i, \lambda_{3,4} = 0.1 \pm 2.9i, \lambda_{5,6} = 0.15 \pm 0.8i, \lambda_7 = -3$$

Как мы видим матрица системы не содержит в себе собственных чисел генератора  $\Gamma$ .

Выполним компьютерное моделирование замкнутой системы с нулевыми начальными условиями наблюдателя:

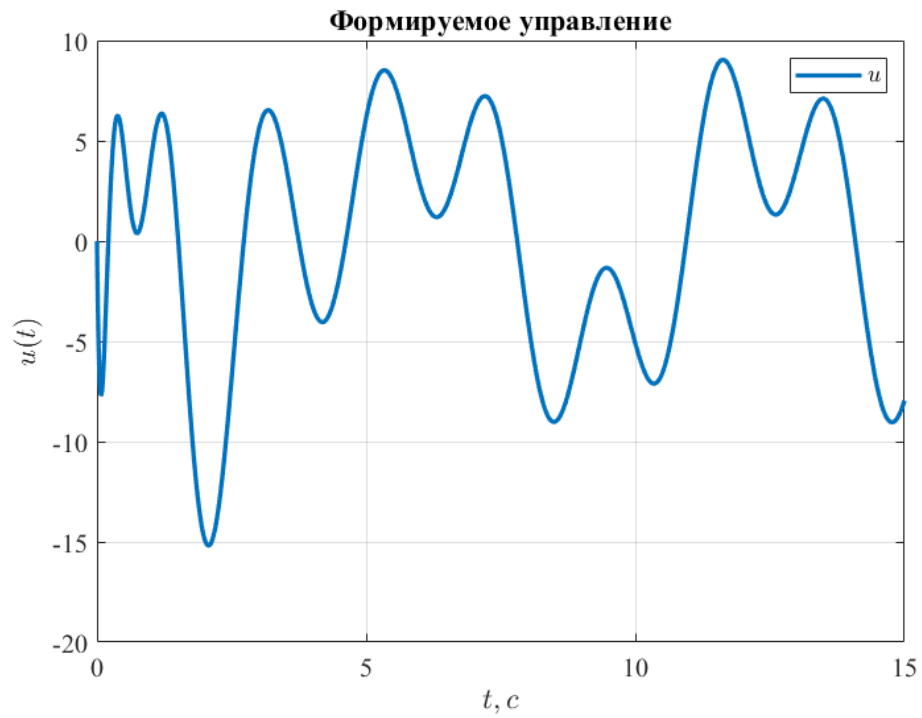


Рисунок 22. График формируемого регулятором управления  $u(t)$ .

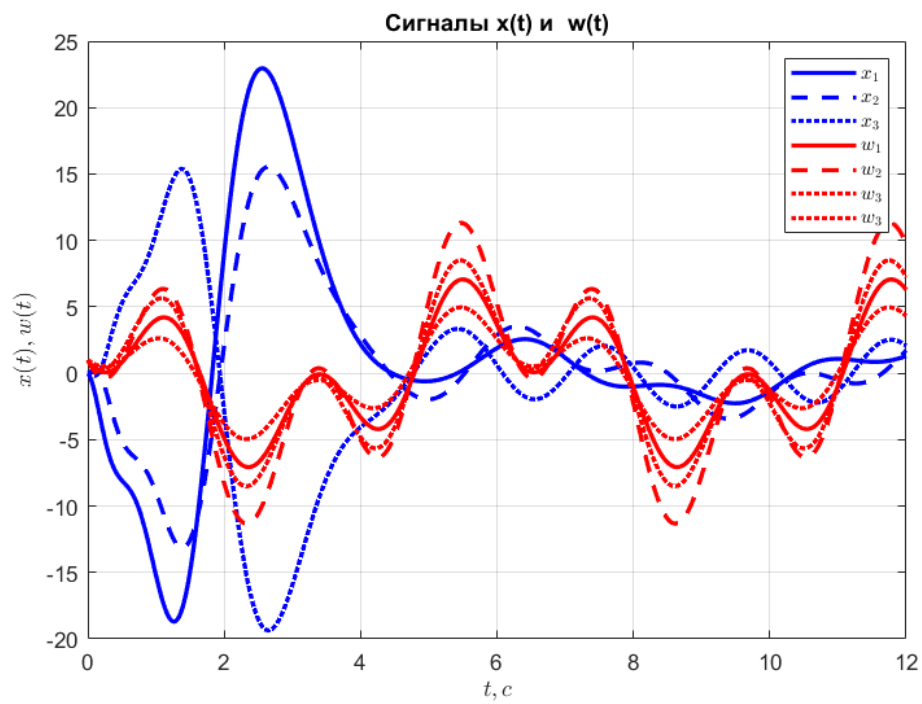


Рисунок 23. График сигнала  $\begin{bmatrix} x(t) \\ w(t) \end{bmatrix}$

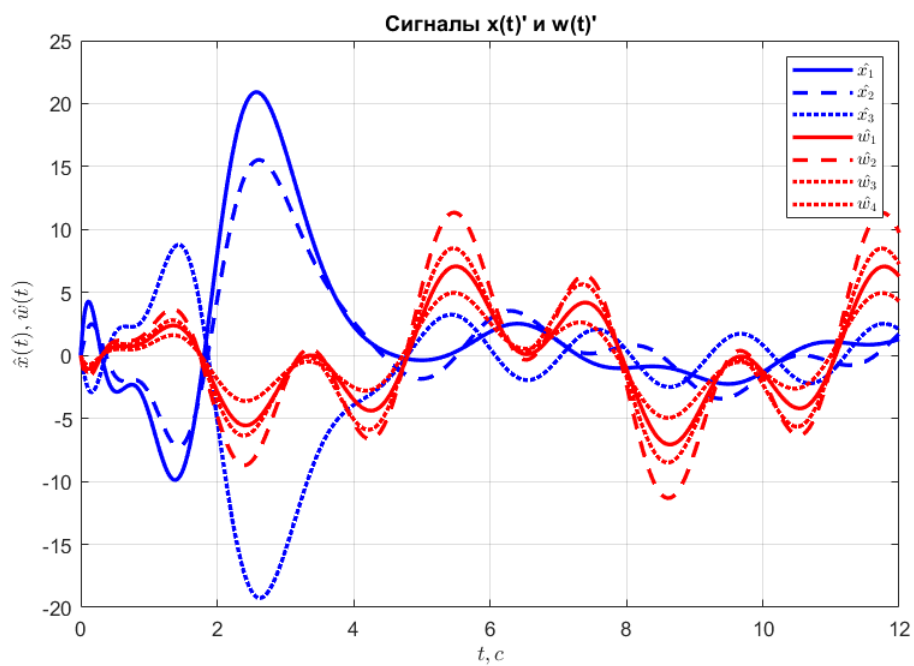


Рисунок 24. График сигнала  $\begin{bmatrix} \hat{x}(t) \\ \hat{w}(t) \end{bmatrix}$

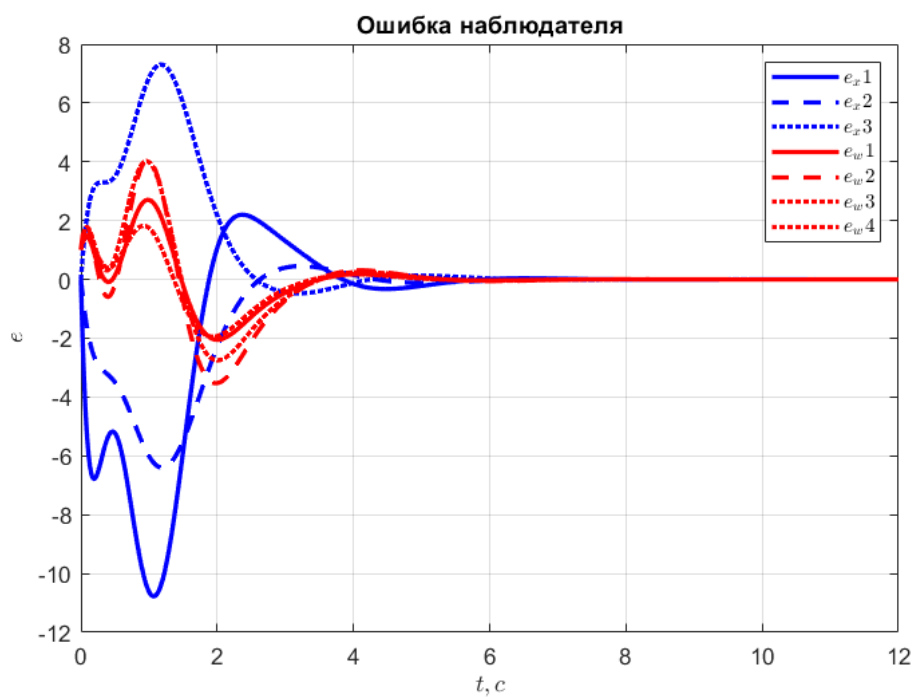


Рисунок 25. График ошибки наблюдателя.

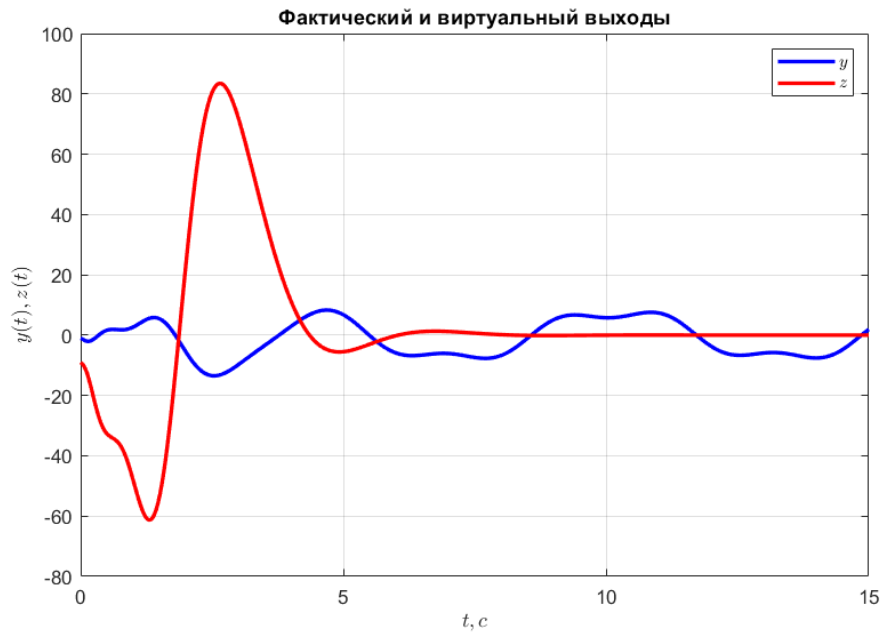


Рисунок 26. Графики фактического и виртуального выходов  $y(t)$  и  $z(t)$ .

### ***Второй случай $z = y$***

Синтезируем «feedforward»-компоненту  $K_2$  следящего регулятора:

$$\begin{cases} P\Gamma - AP = BY + B_f \\ CP + D = 0 \\ K_2 = Y - K_1P \end{cases}$$

Получаем:

$$K_2 = [-6.8352 \quad 6.2643 \quad -0.5444 \quad -0.8614]$$

Далее, представим уравнения регулятора в форме Вход-Состояние-Выход, где вход это  $y(t)$ , а выход  $u(t)$ :

$$\begin{cases} \dot{\hat{x}} = A\hat{x} + Bu + B_f\hat{w} + L_x(\hat{y} - y) \\ \dot{\hat{w}} = \Gamma\hat{w} + L_w(\hat{y} - y) \\ \hat{y} = C\hat{x} + D\hat{w} \\ u = K_1\hat{x} + K_2\hat{w} \end{cases}$$

$$\begin{cases} \begin{bmatrix} \dot{\hat{x}} \\ \dot{\hat{w}} \end{bmatrix} = \begin{bmatrix} A + BK_1 + L_xC & BK_2 + B_f + L_xD \\ L_wC & \Gamma + L_wD \end{bmatrix} \begin{bmatrix} \hat{x} \\ \hat{w} \end{bmatrix} - \begin{bmatrix} L_x \\ L_w \end{bmatrix} y \\ u = [K_1 \quad K_2] \begin{bmatrix} \hat{x} \\ \hat{w} \end{bmatrix} \end{cases}$$

Теперь найдём собственные числа матрицы системы и сравним с собственными числами матрицы генератора  $\Gamma$ .

Собственные числа матрицы  $\Gamma$ :

$$\lambda_{1,2} = \pm 3i, \lambda_{3,4} = \pm i$$

Собственные числа матрицы системы:

$$\lambda_{1,2} = \pm 3i, \quad \lambda_{3,4} = \pm i \quad \lambda_{5,6} = -13.5 \pm 17.9i, \quad \lambda_7 = -3$$

Как мы видим в данном случае спектр матрицы системы содержит в себе собственные числа генератора  $\Gamma$ . Это явление называется принципом внутренней модели.

Выполним компьютерное моделирование замкнутой системы с нулевыми начальными условиями наблюдателя:



Рисунок 27. График формируемого регулятором управления  $u(t)$ .

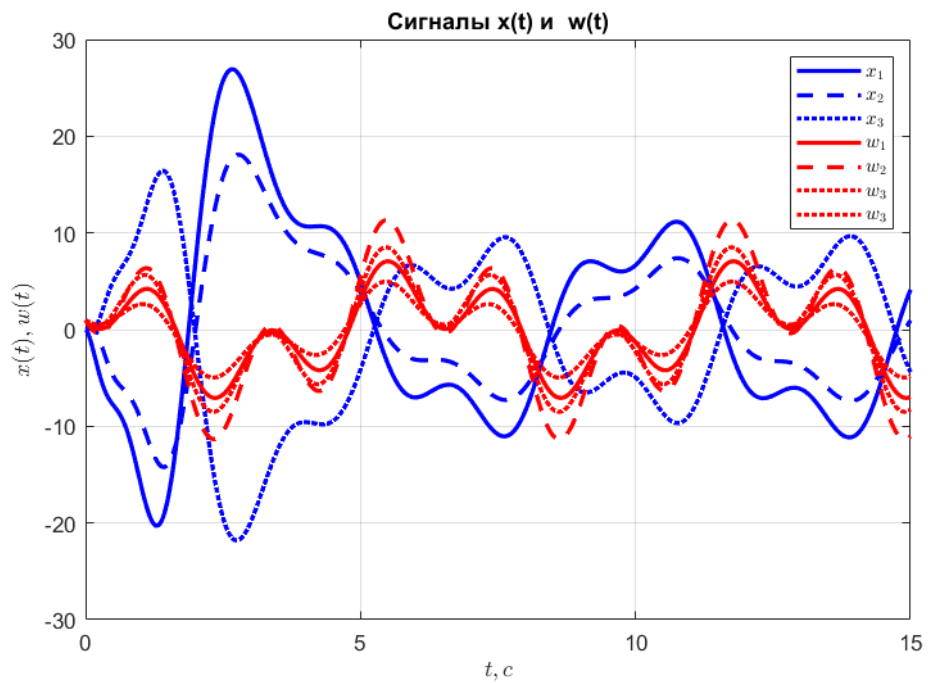


Рисунок 28. График сигнала  $\begin{bmatrix} x(t) \\ w(t) \end{bmatrix}$

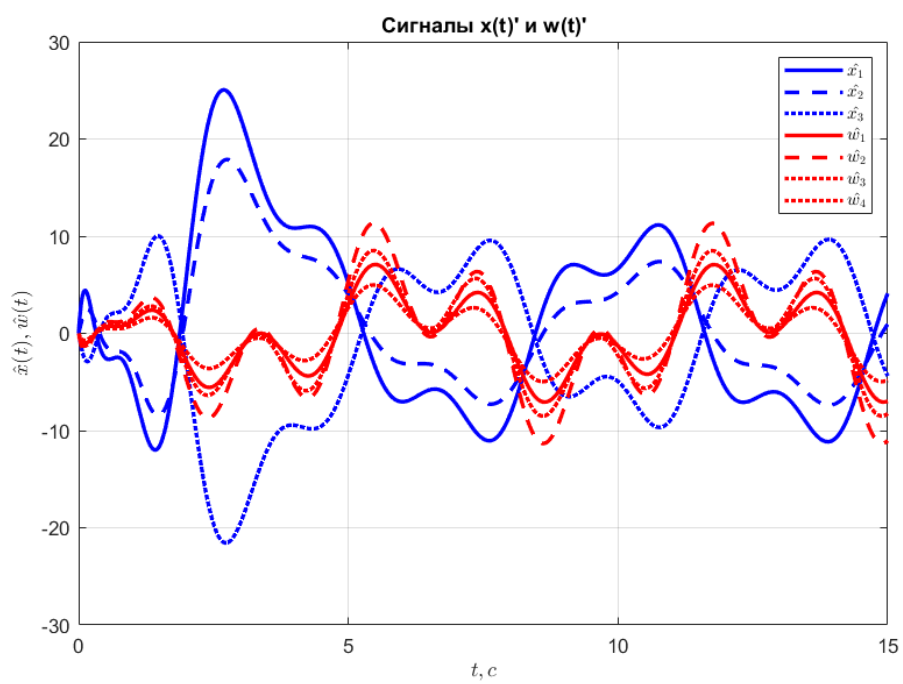


Рисунок 29. График сигнала  $\begin{bmatrix} \hat{x}(t) \\ \hat{w}(t) \end{bmatrix}$

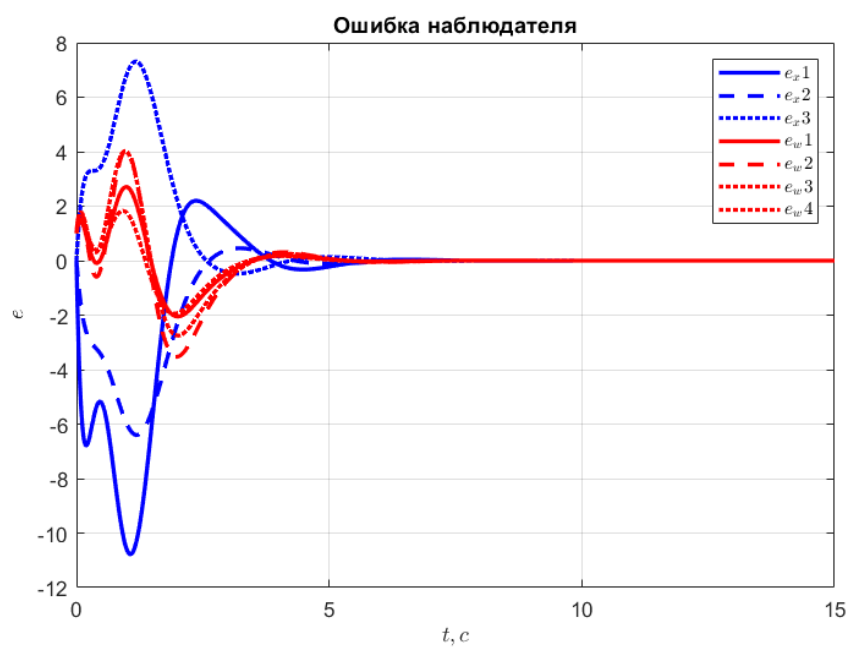


Рисунок 30. График ошибки наблюдателя.

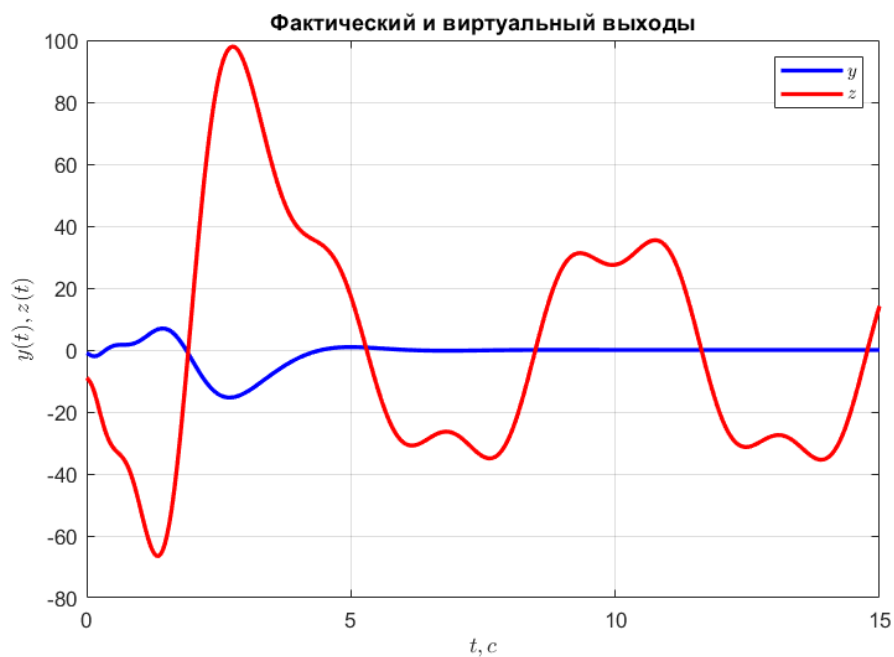


Рисунок 31. Графики фактического и виртуального выходов  $y(t)$  и  $z(t)$ .

### **Выводы:**

В данном задании мы выполняли слежение и компенсацию по выходу, добавив к нашему объекту расширенный наблюдатель. В результате мы справились с нашими задачами, свели  $z$  к 0, а также синтезировали регулятор, в котором содержатся задаваемые внешние возмущения.



## Задание 4. Тележка и меандр

Рассмотрим объект управления «тележка» и выполним следующие шаги:

- Синтезировать математическую модель «тележки», приняв в качестве выхода линейную координату  $y(t) = x_1(t)$ .
- Принять задающий сигнал  $g(t)$  меандром (англ. square wave) с произвольной амплитудой и периодом (выбрать самостоятельно).
- Разложить сигнал  $g(t)$  в ряд Фурье и задаться конечным числом гармоник  $m$  для использования конечной суммы ряда в качестве приближенного сигнала  $\bar{g}(t)$ .
- Сформировать генератор типа, способный порождать выбранные гармоники компоненты  $g(t)$ . Необходимый порядок генератора определить самостоятельно.
- Задаться виртуальным выходом  $z(t)$  в форме и задать матрицы  $C_Z$  и  $D_Z$  такими, чтобы при выполнении целевого условия было справедливо:

$$\bar{g}(t) = D_Z w_g(t), \quad \lim_{t \rightarrow \infty} |\bar{g}(t) - y(t)| = 0$$

Рассмотрим объект управления «тележка»:

$$\begin{cases} \dot{x}(t) = \begin{bmatrix} 0 & 1 \\ 0 & 0 \end{bmatrix} x + \begin{bmatrix} 0 \\ 1 \end{bmatrix} u \\ y(t) = \begin{bmatrix} 1 & 0 \end{bmatrix} x \end{cases}$$

Примем задающий сигнал  $g(t)$  меандром с амплитудой 1 и периодом  $\pi$ .

Разложим этот сигнал в ряд Фурье и выберем конечное число гармоник

$m = 3$  для использования конечной суммы ряда в качестве приближенного сигнала:

$$\bar{g}(t) = \frac{4}{\pi}(\sin(t) + \frac{1}{3}\sin(3t) + \frac{1}{5}\sin(5t))$$

Сформируем генератор, способный порождать выбранные гармоники-компоненты  $\bar{g}(t)$ :

$$\Gamma = \begin{bmatrix} 0 & -1 & 0 & 0 & 0 & 0 \\ 1 & 0 & 0 & 0 & 0 & 0 \\ 0 & 0 & 0 & -3 & 0 & 0 \\ 0 & 0 & 3 & 0 & 0 & 0 \\ 0 & 0 & 0 & 0 & 0 & -5 \\ 0 & 0 & 0 & 0 & 5 & 0 \end{bmatrix}$$

Зададим матрицы  $C_Z$  и  $D_Z$  при условиях:

$$\bar{g}(t) = D_Z w_g(t), \quad \lim_{t \rightarrow \infty} |\bar{g}(t) - y(t)| = 0$$

$$C_Z = [1 \ 0], \quad D_Z = \begin{bmatrix} 0 & \frac{4}{\pi} & 0 & \frac{4}{3\pi} & 0 & \frac{4}{5\pi} \end{bmatrix}$$

В нашем случае мы решаем задачу слежения.

Синтезируем следящий регулятор, обеспечивающий выполнение целевого условия (1).

Синтезируем «feedback»-компоненту  $K_1$ . При помощи матричных уравнений Сильвестра найдём компоненту  $K_1$ :

$$\begin{cases} AP - PG = BY \\ K_1 = -YP^{-1} \end{cases}$$

Желаемый спектр:

$$\{-1, -1\}$$

Получаем матрицу  $K_1$  равную:

$$K_1 = [-1 \quad -2]$$

Синтезируем «feedforward»-компоненту  $K_2$  следящего регулятора:

$$\begin{cases} P\Gamma - AP = BY \\ C_z P + D_z = 0 \\ K_2 = Y - K_1 P \end{cases}$$

Получаем:

$$K_2 = [0 \quad 2.5465 \quad 3.3953 \quad 2.5465 \quad 6.1115 \quad 2.5465]$$

Выполним компьютерное моделирование замкнутой системы:

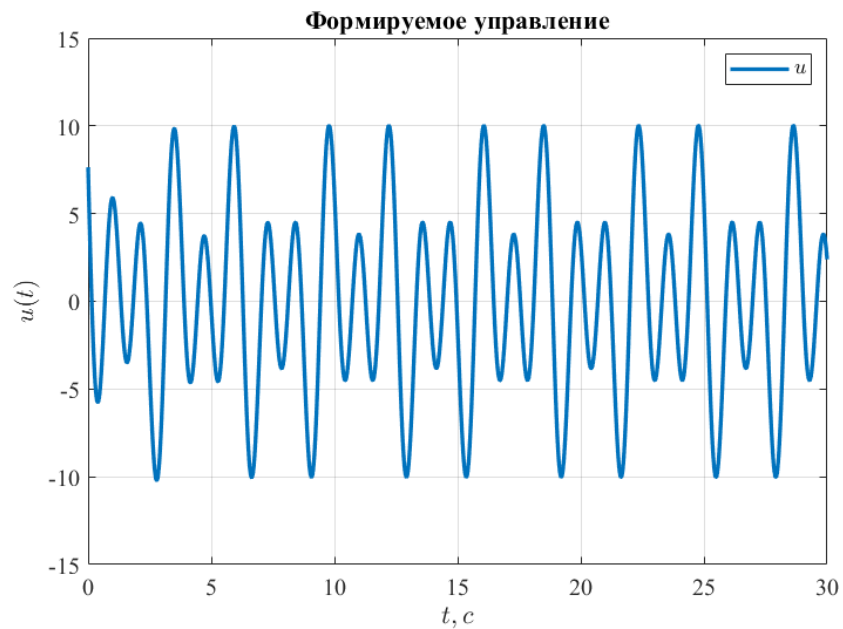


Рисунок 32. График формируемого регулятором управления  $u(t)$ .



Рисунок 33. График замкнутой системы  $x(t)$ .

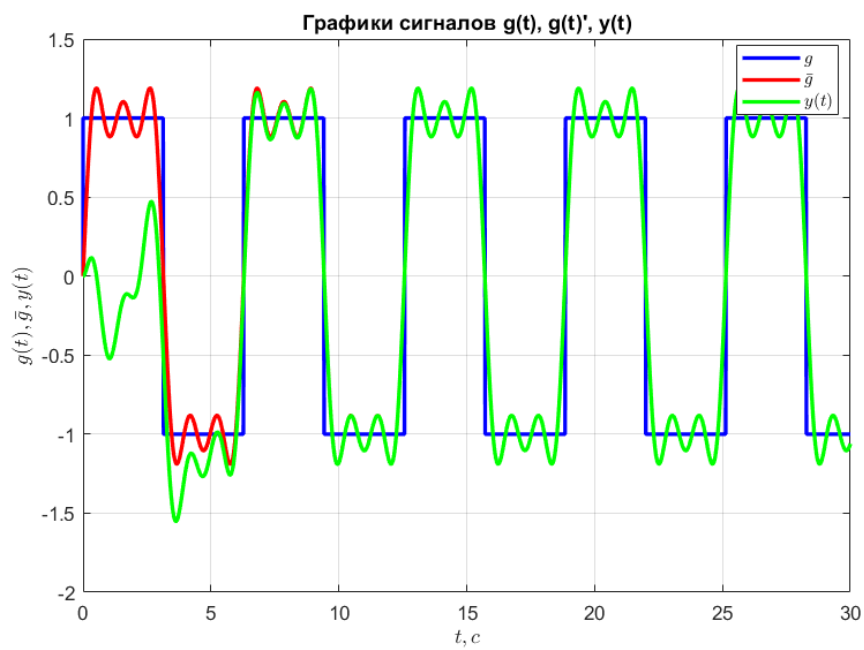


Рисунок 34. График сигналов  $g(t), \hat{g}(t), y(t)$ .

**Выводы:**

В данном задании необходимо было выполнить задачу слежения за движением тележки. Путём расчёта компонент  $K_1$  и  $K_2$  по ранее используемым формулам, мы получили следящий регулятор, который повторяет сигнал похожий на меандр.

**Вывод:**

В ходе выполнения данной лабораторной работы мы решали задачи слежения за виртуальным выходом системы и его компенсации. В начале мы работали с заданными матрицами объекта и генератора, а в последнем задании проверили наши методы на реальном объекте тележки, при случайно выбранном внешнем воздействии. В результате получили решения, работающие на существующем объекте.

## Приложение

Вариант	ОУ	Генератор
1	№ 1	№ 6
2	№ 2	№ 7
3	№ 3	№ 8
4	№ 4	№ 9
5	№ 5	№ 10
6	№ 1	№ 11
7	№ 2	№ 12
8	№ 3	№ 13
9	№ 4	№ 14

Таблица 1: Распределение условий Заданий по Вариантам.

$N^o$	$A$	$B$	$B_f$	$C^T$	$C_Z^T$
1	$\begin{bmatrix} 3 & 5 & 4 \\ -2 & -4 & -5 \\ 2 & 2 & 3 \end{bmatrix}$	$\begin{bmatrix} 2 \\ -1 \\ 1 \end{bmatrix}$	$\begin{bmatrix} -2 & 0 & 0 & 2 \\ -2 & 0 & 0 & 0 \\ 0 & 0 & 0 & 0 \end{bmatrix}$	$\begin{bmatrix} -2 \\ -1 \\ 0 \end{bmatrix}$	$\begin{bmatrix} 2 \\ 3 \\ 3 \end{bmatrix}$
2	$\begin{bmatrix} 5 & 2 & 7 \\ 2 & 1 & 2 \\ -2 & -3 & -4 \end{bmatrix}$	$\begin{bmatrix} 3 \\ 1 \\ -1 \end{bmatrix}$	$\begin{bmatrix} -4 & 0 & 0 & -1 \\ 0 & 0 & 0 & 0 \\ 4 & 0 & 0 & 0 \end{bmatrix}$	$\begin{bmatrix} 2 \\ 0 \\ 3 \end{bmatrix}$	$\begin{bmatrix} -2 \\ 1 \\ -1 \end{bmatrix}$
3	$\begin{bmatrix} 3 & 4 & 2 \\ -4 & -5 & -4 \\ 4 & 4 & 3 \end{bmatrix}$	$\begin{bmatrix} -3 \\ 7 \\ -7 \end{bmatrix}$	$\begin{bmatrix} -2 & 0 & 0 & 1 \\ 2 & 0 & 0 & 0 \\ 0 & 0 & 0 & 0 \end{bmatrix}$	$\begin{bmatrix} 0 \\ -1 \\ 0 \end{bmatrix}$	$\begin{bmatrix} 2 \\ 3 \\ 3 \end{bmatrix}$
4	$\begin{bmatrix} 7 & 0 & 10 \\ 4 & -1 & 4 \\ -4 & -2 & -7 \end{bmatrix}$	$\begin{bmatrix} 1 \\ -1 \\ 1 \end{bmatrix}$	$\begin{bmatrix} -2 & 0 & 0 & -3 \\ 0 & 0 & 0 & 0 \\ 2 & 0 & 0 & 0 \end{bmatrix}$	$\begin{bmatrix} 0 \\ -2 \\ -1 \end{bmatrix}$	$\begin{bmatrix} 2 \\ 1 \\ -1 \end{bmatrix}$

Таблица 2: Исходные данные для Заданий (объект).

№	$\Gamma$	$D^\tau$	$D_Z^I$
11	$\begin{bmatrix} 35 & 56 & 22 & -42 \\ -11 & -17 & -7 & 12 \\ -6 & -10 & -5 & 10 \\ 11 & 18 & 6 & -13 \end{bmatrix}$	$\begin{bmatrix} 1 \\ 2 \\ 1 \\ -1 \end{bmatrix}$	$\begin{bmatrix} 3 \\ 4 \\ 2 \\ -3 \end{bmatrix}$
12	$\begin{bmatrix} -25 & 17 & 10 & -7 \\ -40 & 27 & 14 & -10 \\ -18 & 13 & 7 & -6 \\ -30 & 20 & 14 & -9 \end{bmatrix}$	$\begin{bmatrix} -4 \\ 4 \\ -6 \\ 22 \end{bmatrix}$	$\begin{bmatrix} 16 \\ -6 \\ 4 \\ -7 \end{bmatrix}$
13	$\begin{bmatrix} -25 & 9 & 5 & 6 \\ -40 & 14 & 8 & 10 \\ -16 & 6 & 4 & 3 \\ -30 & 10 & 8 & 7 \end{bmatrix}$	$\begin{bmatrix} 4 \\ -4 \\ 6 \\ -1 \end{bmatrix}$	$\begin{bmatrix} 2 \\ -2 \\ -10 \\ 7 \end{bmatrix}$
14	$\begin{bmatrix} -35 & 11 & 6 & 11 \\ -56 & 17 & 10 & 18 \\ -22 & 7 & 5 & 6 \\ -42 & 12 & 10 & 13 \end{bmatrix}$	$\begin{bmatrix} -6 \\ 6 \\ 4 \\ -5 \end{bmatrix}$	$\begin{bmatrix} -8 \\ 8 \\ -12 \\ 3 \end{bmatrix}$

Таблица 3: Исходные данные для Заданий (генератор).



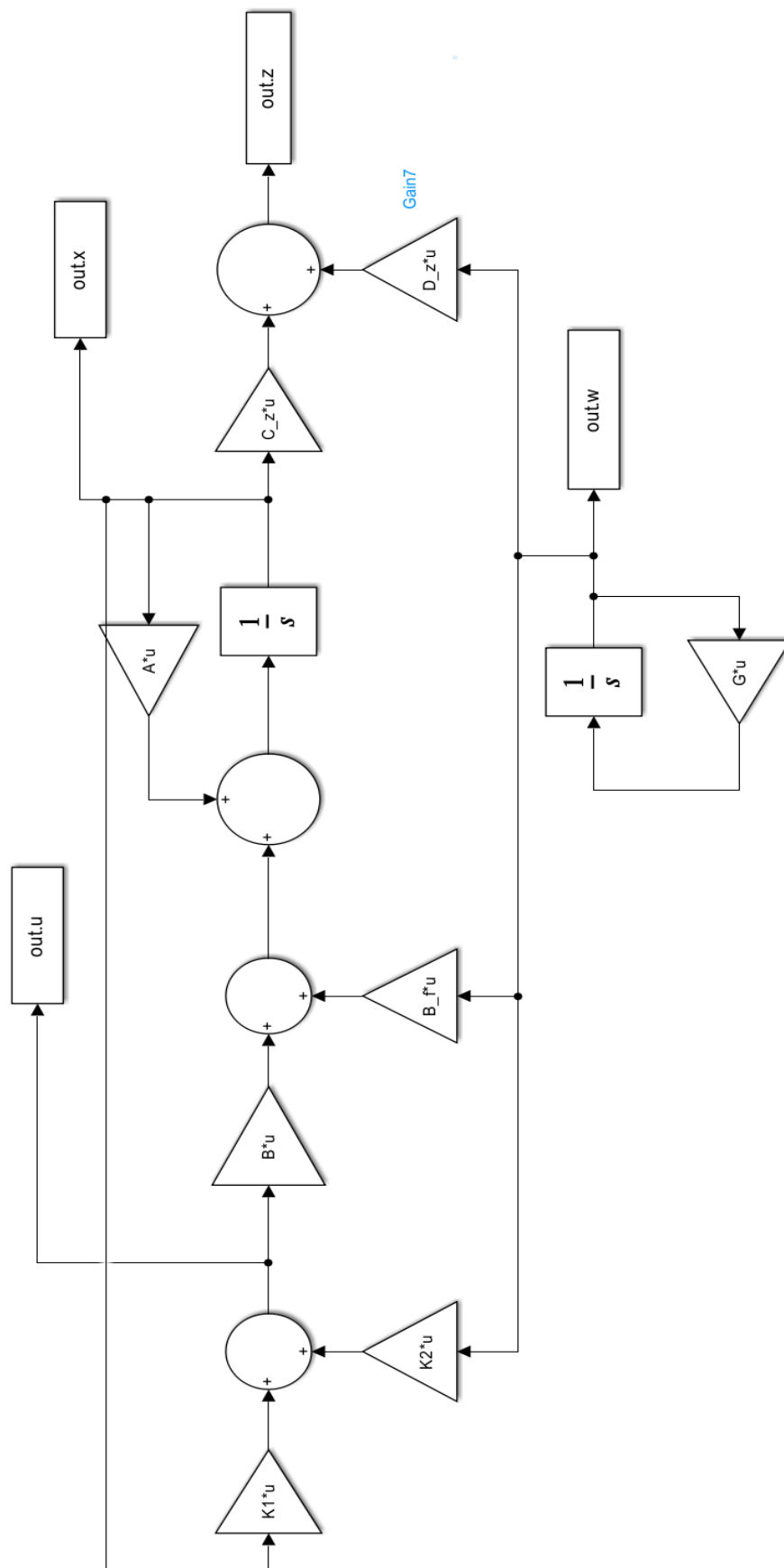


Рисунок 35. Расширенная схема моделирования системы (Задание 1)

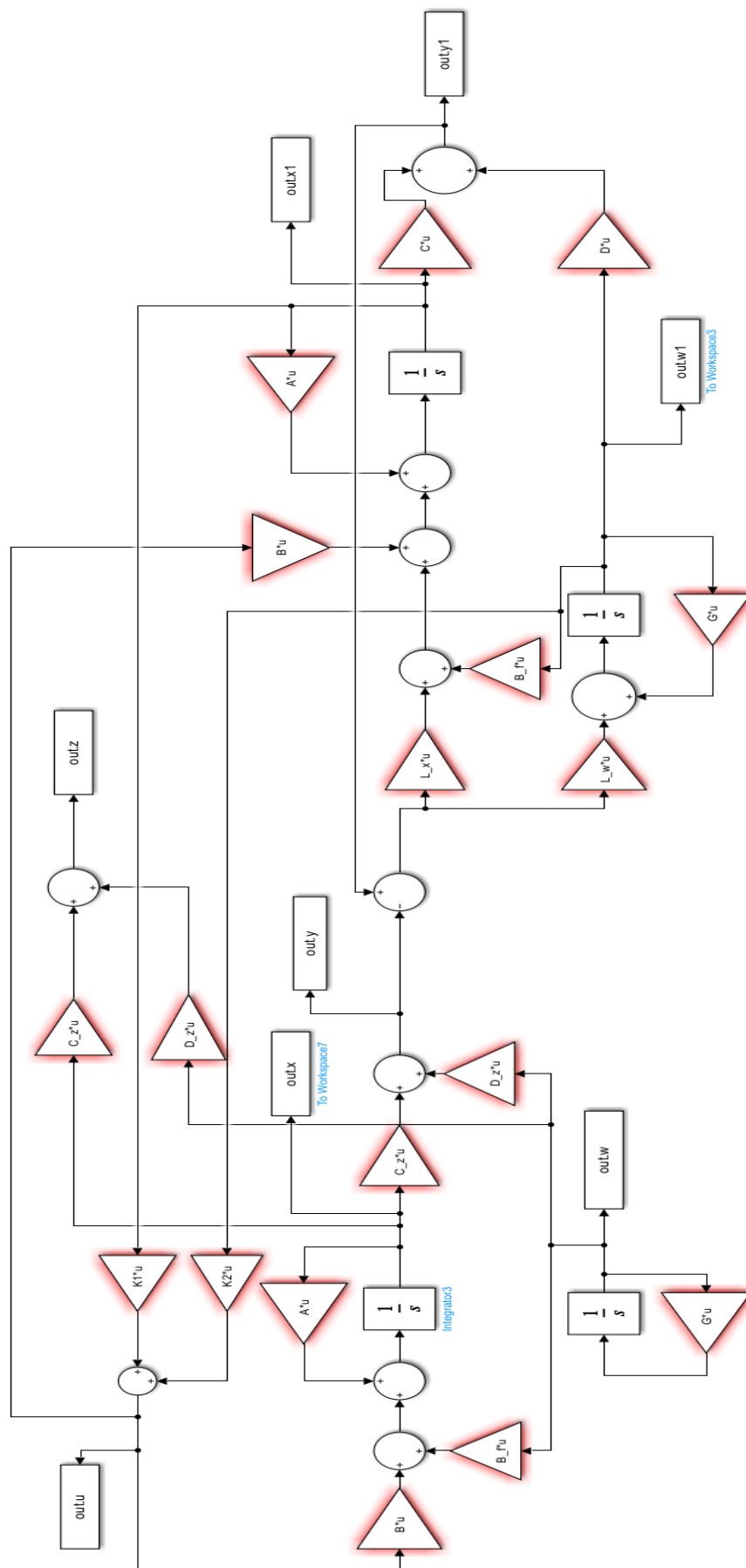


Рисунок 36. Расширенная схема моделирования системы (Задание 3).